

고압 나트륨 방전에서의 아아크 플라즈마 모델 해석에 관한 연구

지 철 근 ° 염 정 덕

서울대학교 전기공학과

A Study on the Analysis of Arc Plasma Model in the HPS Discharge

Chee, Chol Kon Ryeom, Jeong Dug

Dept. of Electrical Engineering, S. N. U.

Abstract

A time-dependent model for wall-stabilized local thermodynamic equilibrium (LTE) arcs has been used to examine the high-pressure sodium vapor arc.

Arc properties including temperature, electrical conductivity, and optically thick and optically thin radiation fluxes were calculated as functions of radius and time.

I. 서 론

Weakly ionize 된 기체의 아아크 플라즈마 모델은 고압 나트륨 아아크 방전의 해석에 매우 적절히 용용될 수가 있는데, 이는 크게 time-independent model 과 time-dependent model 로 나눌 수가 있다.

Time-independent model 은 Waymouth 와 de Groot 등에 의해 고안된 모델로서 dc model 을 사용하여 아아크의 교류특성을 나타낸 것이다. 그리고 time-dependent model 은 온도 분포 특선과 복사 에너지 부분을 어떻게 결정하느냐에 따라 Louke, Stormberg, Chalek 그리고 Dakin 등이 여러가지 모델의 형태를 제시하였다.

본 논문에서는 Chalek 과 Kinsinger 의 모델에 이론적인 근거는 무었으나 복사 에너지 부분이 상당히 개선된 time-dependent 아아크 모델을 고안하여 고압 나트륨 아아크 방전에서의 관경 방향의 온도 분포, 복사 에너지 분포 및 전기 전도도 분포 등을 계산해 보았다.

2. 역사적인 고찰

2.1 Time-independent arc model

Time-independent arc model 로서는 Waymouth, de Groot 등이 dc model 을 사용하여 교류 아아크의 특성을 간략화하여 나타내었는데 Waymouth 의 방법은 온도 분포 특선을 무단계 특선으로 가정하여 그 계산 방법을 극단적으로 간략화 시켰으며 de Groot 의 방법은 온도 분포 특선을 포물선으로 가정하여 근사화하였다.

2.2 Time-dependent arc model

Time-dependent arc model 은 처음에 Louke 등에 의해 Ar, Hg 아아크 방전의 해석에 사용되었는데 이 방법은 복사 에너지 부분을 결정하는데 실험적으로 얻은 전압-전류 특성에서부터 접근하는 방법을 사용하였다.

Stormberg, Schafer 등은 high pressure mercury discharge 의 해석에 관한 논문에서 이론적인 근거로부터 도출된 복사 에너지 방정식을 제시하였는데 이 방법은 local net radiation emission 을 zero's order Bessel function 을 용용한 arc tube bore, gas pressure, gas temperature 를 함수로서 해석하는 시도를 하고 있다.

이에 비해 보다 적절적이고 그러나 복잡한 계산 과정을 요구하는 아아크 모델이 Chalek 과 Kinsinger 에 의해 제시되었는데 이들은 복사 에너지 부분을 optically thick 와 optically thin 의

두 부분으로 구분하여 계산하였다. 이 방법은 optically thick 부분 중 Na 공진선부분 (589/590 nm) 을 emission 과 absorption 과의 관계를 이용한 복사 에너지 flux 의 발산으로 표현하였고 공진선 이외의 부분은 공진선에서의 계산 결과에 115%를 곱해주는 것으로 보정하여 주었고 대부분이 적외선 부분인 optically thin 부분은 여기 전압의 평균치를 3.6 eV로 보아 단순화 하였다.

3. 아아크 모델의 가정 및 모델 방정식

de Groot에 의하면 HPS의 복사 에너지는 공진선인 D line (589/590 nm) 이 전체의 약 40 - 50 % 를 차지하고 비공진선인 568/569, 818/819, 1138/1140 nm 들의 파장이 전체의 약 30%를 차지한다고 하였다.

그러므로 위에서 언급한 8개 파장이 HPS 전체 복사 에너지의 70 - 80 %를 차지한다고 말할 수가 있다. 때문에 이를 8개 파장에서의 emission 및 absorption 을 고려한다면 매우 적절한 복사 에너지 향을 구성할 수가 있다.

본 논문에서는 위에서 언급한 8개 파장을 이용한 아아크 모델을 구성하여 주어진 방전관 반경, gas loading, 그리고 current wave form 하에서의 continuity equation, energy balance equation 그리고 radiation transfer equation 와 time-dependent 한 해를 구하여 전류, 압력, 관경방향 온도분포 그리고 spectral output 의 각 시간 단계마다의 해를 제공한다.

3.1 아아크 모델의 가정

본 논문에서 설정되는 아아크 모델의 가정은 다음과 같다.

- 1) 양광주 양풀의 공간 전하에 의한 효과는 무시하고 무한 원통형 모델을 가정하여 축방향 및 방위각 방향의 radiation flux 의 변화를 무시한다. 이렇게 함으로써 채적에 대한 에너지 평형식을 단위 길이당의 에너지 평형식으로 가정할 수 있다.
- 2) LTE (local thermodynamic equilibrium) 상태를 가정한다.

플라즈마 입자들의 밀도는 Saha 방정식으로 부터 얻을 수가 있고 이를 균등한 온도로 취급함으로써 1개의 에너지 평형식을 사용할 수가 있다.

3) 관경 방향의 압력이 일정하다.

이는 continuity, energy equation 를 부터 관경 방향의 momentum equation 을 무시할 수가 있다.

4) viscous 와 magnetic effect 를 무시한다.

5) 그리고 아아크는 주기적인 정상상태 동작으로 가정한다. 이렇게 함으로써 관벽에서의 아아크의 온도와 단위 길이당 방전관내의 gas loading 이 일정해진다.

3.2 모델 방정식

discharge arc 를 나타내기 위해서는 국부적인 온도 T, 관경방향의 기체속도 Vr, 밀도 ρ, 압력 P, 전류 I 그리고 전류 E로 구성되는 다섯개의 중요한 방정식이 있다.

그 방정식들은 다음과 같다.

1) 에너지 평형식

$$\rho C_p \frac{\partial T}{\partial t} = \sigma E^2 - U_{rad} + \frac{1}{r} \frac{\partial}{\partial r} \left(rk \frac{\partial T}{\partial r} \right) - \rho C_p V_r \frac{\partial T}{\partial r} + \frac{\partial P}{\partial t}$$

이 방정식의 오른쪽 항은 차례로 저항가열, 복사손실, 열전도, 관경 방향 대류손과 단열 가열을 나타낸다.

2) continuity equation

$$\frac{\partial p}{\partial t} + \frac{1}{r} \frac{\partial}{\partial r} (r V_r p) = 0$$

3) 기체 상태 방정식

$$P = \rho R T$$

4) fill gas loading

$$\int_0^{R_w} \rho 2\pi r dr = M \quad (= \text{const})$$

5) Ohm 의 법칙

$$I = E \int_0^{R_w} 0 2\pi r dr$$

경계치 조건은 다음과 같다.

$$T(R_w) = T_w$$

$$\frac{\partial T}{\partial r} (r=0) = 0$$

$$V_r(0) = 0$$

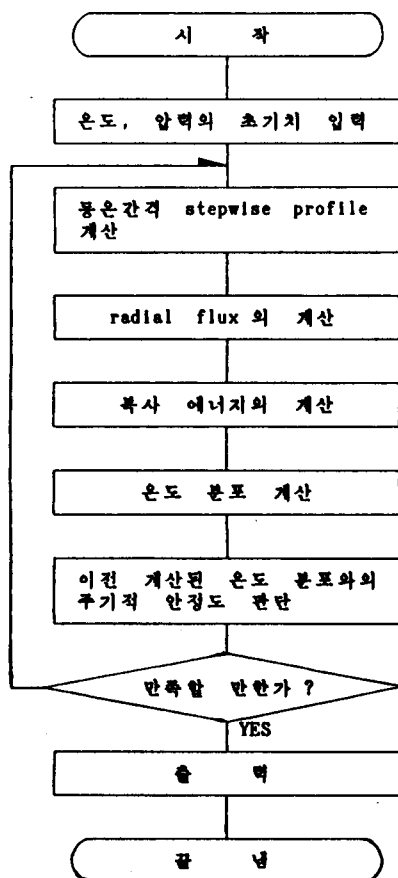
$$V_r(R_w) = 0$$

또한 초기치 조건은 다음과 같다.

o 정상 상태 압력

o 직류 동작하의 온도 분포

4. 계산 과정의 흐름도



다음 도표는 모델 방정식을 계산한 결과 얻어진 HPS 아아크 플라즈마의 스펙트럼 분포이다.

도표를 보면 실측치(a)와 계산치(b)의 복사에너지의 크기가 차이가 날 수가 있다. 이는 계산치의 경우 즉 중심 부근에서의 스펙트럼 분포를 계산하였기 때문에 아아크 외부에서 측정된 측정치와는 차이가 날 것으로 추측된다.

도표 (c), (d), (e)는 568/589, 818/819, 1138/1140 [nm] 광장에서의 자기 흡수 현상을 보여준다.

이 모델에서는 Na 원자들의 충돌에 의한 공진 선폭만 고려해 주었으나 앞으로 Stark broadening과 line shift 현상을 고려되어야 할 것으로 사료된다.

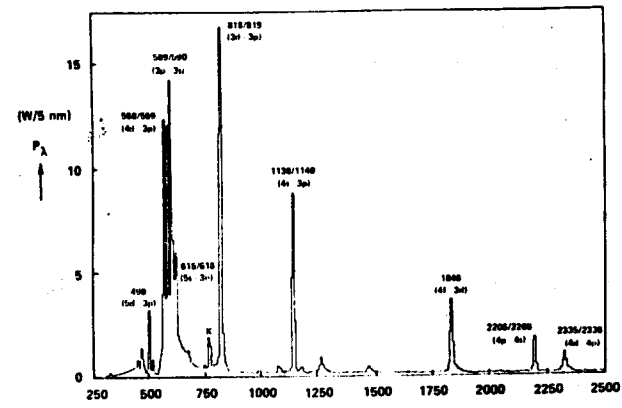


도표 (a) 스펙트럼 분포의 측정치

Spectrum of HPS plasma

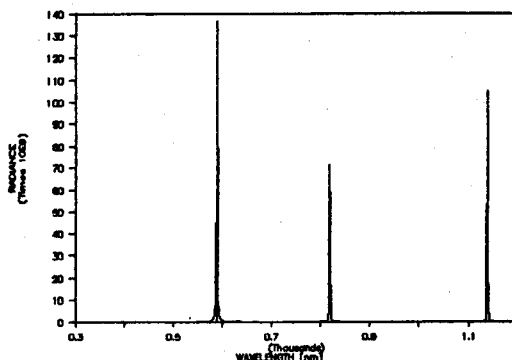


도표 (b) 스펙트럼 분포의 계산치

5. 결과 및 검토

계산과정의 복잡성을 피하기 위하여 복사 에너지의 계산과정에서 관경 방향 온도 분포를 물온 간격 stepwise profile로 변환하였다. 이 경우 각 물온 간격 안에서는 absorption 계수가 관경에 무관한 항이 되어 radial flux의 계산과정이 간편해진다.

또한 모델 방정식 중의 편미분 방정식들은 FDM (Finite Difference Method)을 이용하여 계산하였는데 해의 불안정성을 피하기 위하여 implicit finite difference method를 이용하였다.

6. 결 론

인간의 눈은 자연스럽게 주광에 적응하여 봄기 때문에 광원으로는 주광이 가장 이상적이다. 그러므로 가시광선 영역에서의 각 파장의 복사 에너지가 균일한 스펙트럼 분포를 갖는 광원의 특성이 요구된다.

때문에 방전관내 물리적 제 현상을 모델 방정식으로 표현할 수가 있다면 램프의 최적 설계를 가능하게 할 뿐 아니라 그 개선의 방법을 제시할 수 있을 것이다. 그러므로 보다 효율적이고 정확한 아아크 모델의 연구가 필요하다고 하겠다.

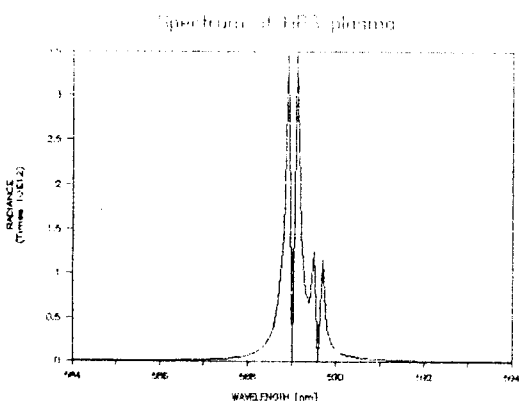


도표 (c) 스펙트럼 분포 (588/590 nm 부근)

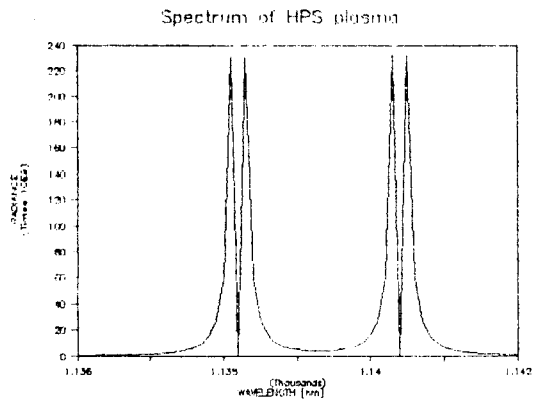


도표 (d) 스펙트럼 분포 (818/818 nm 부근)

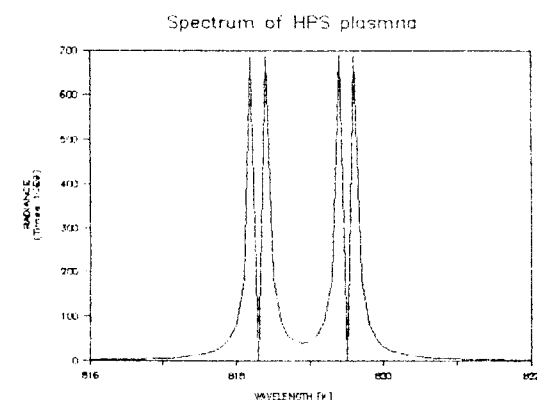


도표 (e) 스펙트럼 분포 (1138/1140 nm 부근)

참 고 문 헌

1. 차 철근, '전기용광', 문운당, 1987
2. W. Elenbaas, 'Light Sources', MacMillan, London 1972
3. R.N.Helms, 'Illuminating Engineering', Prentice-Hall, Englewood Cliffs, 1980
4. J.A.J.M. van Vliet, J.J.de Groot, 'High-Pressure sodium discharge lamps', IEE Proc., Vol. 128, Pt.A, No. 6, 1981, pp.415-441
5. C.H.Church, R.G.Schlecht, I.Liberman, B.W.Swanson, 'Studies of Highly Radiative Plasmas Using the Wall-Stabilized Pulsed Arc Discharge', AIAA Journal 1966, Vol.4, No.11, pp 1847-1853
6. C.L. Chalek, R.E. Kinsinger, 'A Theoretical Investigation of the pulsed high-pressure sodium arc', J.Appl.Phys, No.52(2), 1981, pp 716 -723
7. P.D.Johnson, T.H.Rautenberg,Jr. 'Spectral change mechanism in the pulsed high-pressure sodium arc', J.Appl.Phys., No.50(5), 1979, pp 3207 - 3211